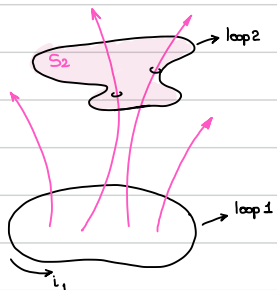


INDUCTANCIA



Supongamos dos circuitos en reposo. Si una corriente constante i_1 fluye por el circuito loop^1 produce un campo $\bar{B}_1(\bar{r})$

$$\bar{B}_1(\bar{r}) = \frac{\mu_0}{4\pi} i_1 \oint \frac{d\bar{l} \times (\bar{r} - \bar{r}_l)}{|\bar{r} - \bar{r}_l|^3}$$

El flujo de campo magnético a través del área que encierra el circuito loop^2 es

$$\Phi_2 = \oint d\vec{s}_2 \cdot \bar{B}_1(\bar{r})$$

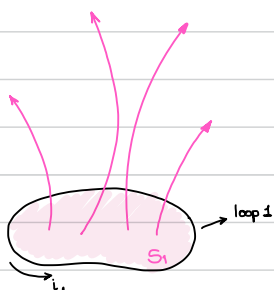
$$= \frac{\mu_0}{4\pi} \underbrace{\int d\vec{s}_2 \cdot \left(\oint \frac{d\bar{l} \times (\bar{r} - \bar{r}_l)}{|\bar{r} - \bar{r}_l|^3} \right) }_{M_{21}} i_1 \propto i_1$$

$$\Phi_2 = M_{21} i_1$$

M_{21} : inductancia mutua

Si i_1 varía en el tiempo

$$-\mathcal{E}_2 = \frac{d\Phi_2}{dt} = M_{21} \frac{di_1}{dt} \Rightarrow \boxed{\mathcal{E}_2 = -M_{21} \frac{di_1}{dt}}$$



$$\Phi_1 = \int d\vec{s}_1 \cdot \bar{B}_1(\bar{r})$$

$$= \frac{\mu_0}{4\pi} \underbrace{\int d\vec{s}_1 \cdot \left(\oint \frac{d\bar{l} \times (\bar{r} - \bar{r}_l)}{|\bar{r} - \bar{r}_l|^3} \right) }_{L} i_1 \propto i_1$$

$$\boxed{\Phi_1 = L i_1} \quad L: autoinductancia.$$

$$-\mathcal{E}_1 = \frac{d\Phi_1}{dt} = L \frac{di_1}{dt}$$

$$\boxed{\mathcal{E}_1 = -L \frac{di_1}{dt}}$$

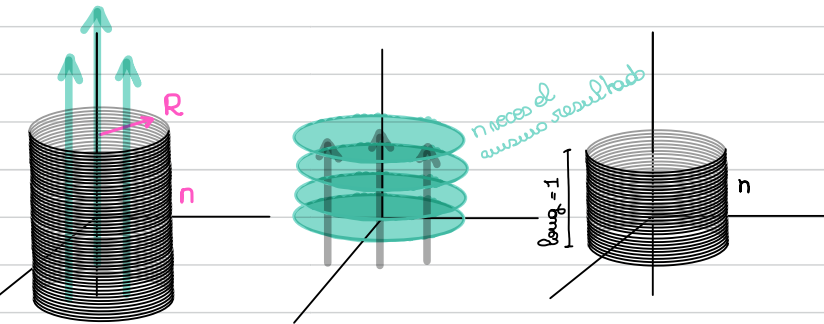
73 Calcular la auto-inductancia de:

- Un solenoide infinito de radio R y $n = N/\ell$ vueltas por unidad de longitud (exprese el resultado por unidad de longitud).
- Un toroide con N vueltas y radio medio R , usando que la diferencia entre el radio exterior e interior es mucho menor que R .

$$a) \vec{B}(z) = \begin{cases} \mu_0 n \hat{z} & R < z \\ 0 & R > z \end{cases}$$

$$\Phi^{(1)} = \int_0^{2\pi} d\varphi \int_0^R p dp \mu_0 n \hat{z} \cdot \hat{z} = 1$$

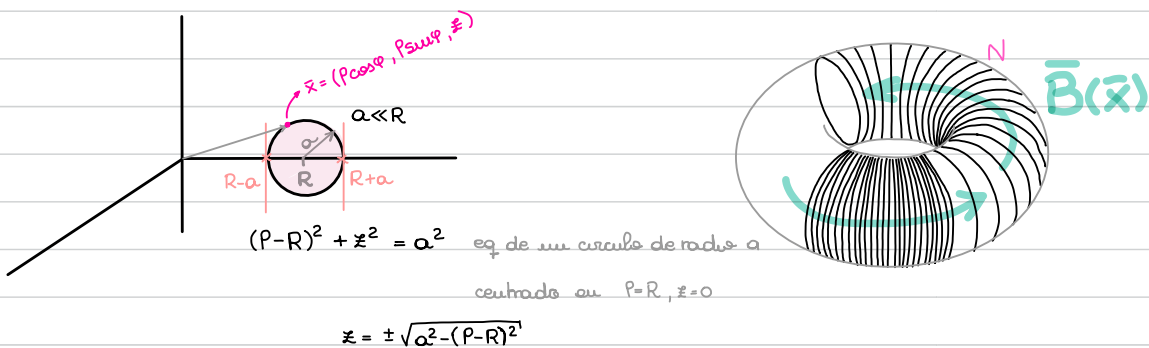
$$= \pi R^2 \mu_0 n i$$



$$\frac{\Phi}{l} = \pi R^2 \mu_0 n^2 i \rightarrow \boxed{\frac{L}{l} = \pi R^2 \mu_0 n^2}$$

b) Toroide flaguito

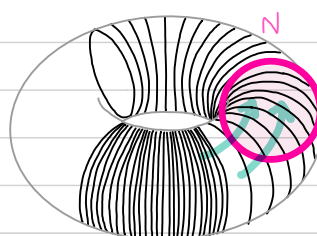
$$\vec{B}(z) = \begin{cases} 0 & \text{si } R < z < R-a \\ \frac{\mu_0}{2\pi} NI/p \hat{\varphi} & \text{si } R-a < z < R+a \\ 0 & \text{si } z > R+a \end{cases}$$



$$z = \pm \sqrt{a^2 - (R-p)^2}$$

$$\Phi^{(1)} = \int_{R-a}^{R+a} dp \int_{-\sqrt{a^2-(R-p)^2}}^{\sqrt{a^2-(R-p)^2}} dz \frac{\mu_0}{2\pi} NI/p \hat{\varphi} \cdot \hat{\varphi}$$

$$= \frac{\mu_0}{2\pi} NI \int_{R-a}^{R+a} dp \frac{2\sqrt{a^2-(R-p)^2}}{p}$$

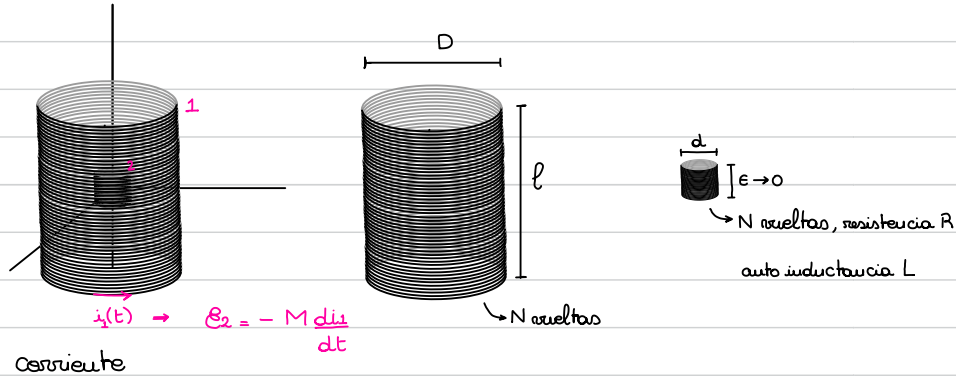


$$= \frac{\mu_0}{2\pi} \alpha^2 NI \underbrace{2\pi(R - \sqrt{R^2 - a^2})}_{\approx R^2} \rightarrow \boxed{\Phi^{\text{TOT}} = \frac{\mu_0 \alpha^2 N^2}{2} I} \Rightarrow L = \frac{\mu_0 \alpha^2 N^2}{2} R$$

Haciendo Taylor en toro a $a=0$

$$= \frac{R^2}{2}$$

- 72 Un solenoide tiene 1000 vueltas, 20 cm de diámetro y 40 cm de largo. En su centro se ubica coaxialmente otro solenoide de 1000 vueltas, 4 cm de diámetro y longitud despreciable, cuya resistencia vale 50Ω . Inicialmente circulan 5 A por el solenoide exterior, luego se reduce linealmente la corriente a 1 A en 0,5 s. Calcular la corriente que se induce en el solenoide interior, cuya auto-inductancia es L .



$$i(t) = i_0 + \alpha t$$

$$i(0,5s) = \frac{i_0}{5} \rightarrow \frac{i_0 + \alpha}{2} = \frac{i_0}{5}$$

$$-\frac{4}{5}i_0 = \frac{\alpha}{2}$$

$$i(t) = i_0 \left(1 - \frac{8}{5}t\right)$$

$$E_2 = -M \frac{di_1}{dt} \text{ con } M = \frac{\Phi_2}{i_1} \quad (\Phi_2 = M i_1)$$

Para poder hallar E_2 , calcularemos Φ_2 (flujo de campo $\bar{B}_1(x)$ a través del solenoide interno)

$$\Phi_2 = \int d\vec{s}_2 \cdot \bar{B}_1(x)$$

Si el solenoide tiene altura ϵ despreciable $\epsilon \gg 0$ y entonces puede despreciar efectos de borde (usar el $\bar{B}_1(x)$ generado por un solenoide ∞)

$$\bar{B}_1(x) = \begin{cases} \mu_0 i_1 \frac{N}{l} \hat{z} & \text{si } r < \frac{D}{2} \\ 0 & \text{si } r \geq \frac{D}{2} \end{cases}$$

$$\Phi_2^{(1)} = \int_0^{\frac{2\pi}{2}} d\theta \int_0^{\frac{d}{2}} r dr \left(\mu_0 i_1 \frac{N}{l} \hat{z} \right) \hat{z}$$

$$= \pi \left(\frac{d}{2}\right)^2 \mu_0 \frac{N}{l} i_1$$

$$i(t) = i_0 \left(1 - \frac{8}{5}t\right) \Rightarrow \frac{di_1}{dt} = -\frac{8}{5}i_0$$

$$\Phi_2^{\text{tot}} = \pi \left(\frac{d}{2}\right)^2 \mu_0 \frac{N^2}{l} i_1$$

$$E_2 = -M \frac{di_1}{dt} = -\frac{\Phi_2}{i_1} \frac{di_1}{dt} = -\pi \left(\frac{d}{2}\right)^2 \mu_0 \frac{N^2}{l} \frac{di_1}{dt} = \pi \frac{8}{5} \frac{d^2}{4} \mu_0 \frac{N^2}{l}$$

$$E_2 = \frac{2\pi}{5} \mu_0 i_0 d^2 \frac{N^2}{l}$$

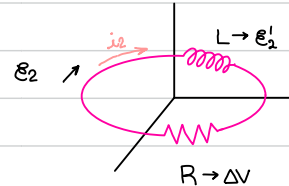
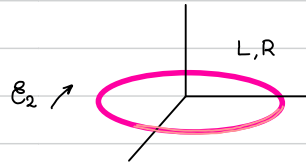
$$\mathcal{E}_2 + \mathcal{E}'_2 + \Delta V = 0$$

$$\mathcal{E}_2 - L \frac{di_2}{dt} - R i_2 = 0$$

fuera inducida por la variación de i_2

fuera inducida por la variación de i_2

Caída de potencial debida a la resistencia del espiral



$$\text{Planteo } x = \frac{\mathcal{E}_2}{R} - i_2 \Rightarrow dx = -di_2$$

$$Rx + L \frac{dx}{dt} = 0$$

$$\frac{dx}{x} = -\frac{R}{L} dt$$

$$x = A e^{-\frac{R}{L} t}$$

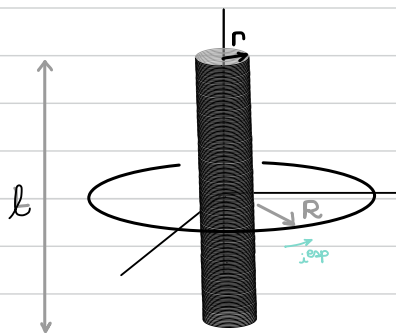
$$\frac{\mathcal{E}_2}{R} - i_2(t) = A e^{-\frac{R}{L} t}$$

$$i_2(t) = \frac{\mathcal{E}_2}{R} - A e^{-\frac{R}{L} t}$$

$$i_2(0) = 0 \rightarrow A = \frac{\mathcal{E}_2}{R}$$

$$i_2(t) = \frac{\mathcal{E}_2}{R} \left(1 - e^{-\frac{R}{L} t} \right) ; \text{ con } \mathcal{E}_2 = \frac{2}{5} \pi i_0 \mu_0 \frac{d^2 N^2}{l}$$

- 77 Calcule M_{12} y M_{21} entre una espira circular de radio R y un solenoide finito de longitud L y radio r (suponga $r \ll L$ y $r \ll R$), dispuestos de tal forma que los centros y los ejes de ambos son coincidentes. Utilice las aproximaciones que crea necesarias y diga cuál de los dos resultados es más confiable cuando ℓ es chico con respecto a R .



$L \ll R$

$L < R$

$$\Phi_2^{\text{exp}} = M_{21} i_1^{\text{sol}} \quad \Rightarrow \quad \Phi_2^{\text{exp}} = \int d\vec{s}_{\text{exp}} \cdot \vec{B}_1^{\text{sol}}(z)$$

$$\Phi_1^{\text{sol}} = M_{12} i_2^{\text{exp}} \quad \Rightarrow \quad \Phi_1^{\text{sol}} = \int d\vec{s}_{\text{sol}} \cdot \vec{B}_2^{\text{exp}}(z)$$

Campos que sabemos calcular

$$\cdot \vec{B}(z) \Big|_{\text{ejje}} = \frac{\mu_0}{2} i^{\text{exp}} \frac{R^2}{(R^2+z^2)^{3/2}} \hat{z} \quad (58)$$

$$\cdot \vec{B}^{\text{sol}}(z) \Big|_{\text{ejje}} = \frac{\mu_0}{2} \frac{r i^{\text{sol}} N}{L} \left[\frac{z+\ell/2}{\sqrt{r^2+(z+\ell/2)^2}} - \frac{z-\ell/2}{\sqrt{r^2-(z-\ell/2)^2}} \right] \hat{z} \quad (59)$$

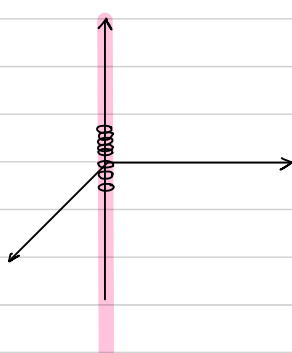
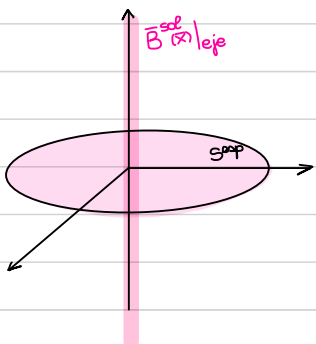
$$\cdot \vec{B}(z) = \begin{cases} \mu_0 i^{\text{sol}} N / L \hat{z} & \text{adentro (5.t.c)} \\ 0 & \text{afuera} \end{cases}$$

OPCIÓN #1

$$\Phi_2^{\text{exp}} = M_{21} i_1^{\text{sol}}$$

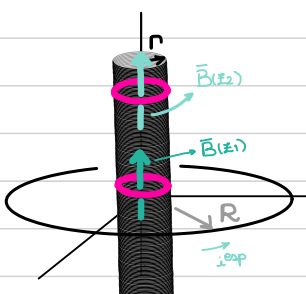
OPCIÓN #2

$$\Phi_1^{\text{sol}} = M_{12} i_2^{\text{exp}}$$



$$\vec{B}(z) \Big|_{\text{ejje}} = \frac{\mu_0}{2} i_2^{\text{exp}} \frac{R^2}{(R^2+z^2)^{3/2}} \hat{z}$$

$$\Phi_1^{\text{sol}(1)} = \int_0^{2\pi} d\phi \int_0^R r dr \hat{z} \cdot \frac{\mu_0}{2} i_2^{\text{exp}} \frac{R^2}{(R^2+z^2)^{3/2}} \hat{z}$$



$$\Phi_1^{\text{sol}(1)} = \pi R^2 \frac{\mu_0}{2} i_2^{\text{exp}} \frac{R^2}{(R^2+z^2)^{3/2}}$$

$$\Phi_1^{\text{sol}} = \int_{-\frac{l}{2}}^{\frac{l}{2}} dz n(z) \Phi_1^{\text{sol}(z)}(z)$$

$$= \frac{N \pi r^2 \mu_0}{l} \frac{i_2^{\text{exp}}}{2} \int_{-\frac{l}{2}}^{\frac{l}{2}} dz \frac{R^2}{(R^2 + z^2)^{3/2}}$$

$\underbrace{\qquad\qquad\qquad}_{\ell}$
 $\sqrt{R^2 + (\frac{l}{2})^2}$

$$\Phi_1^{\text{sol}} = \frac{\mu_0 \pi r^2}{2} \frac{N}{\sqrt{R^2 + (\frac{l}{2})^2}} i_2^{\text{exp}}$$

$$\Phi_1^{\text{sol}} = M_{12} i_2^{\text{exp}} \Rightarrow M_{12} = \boxed{\frac{\mu_0 \pi}{2} \frac{N r^2}{\sqrt{R^2 + (\frac{l}{2})^2}}}$$

Caso en que calcule el flujo de campo $\bar{B}(x)$ aproximado por $\bar{B}(x)|_{\text{ejes}}$, a través de la espira

$$M_{21} = \frac{\mu_0 \pi}{2} \frac{N R^2}{\sqrt{r^2 + (\frac{l}{2})^2}}$$

Aproximando $B_1^{\text{sol}, \infty}(x) = \begin{cases} \frac{N}{2} \mu_0 i_1^{\text{sol}} & r < r \\ 0 & r > r \end{cases}$

$$\Phi_2^{\text{exp}} = \int_0^{2\pi} d\phi \int_0^r r dr \frac{N}{l} \mu_0 i_1^{\text{sol}} = \pi r^2 \frac{N}{l} \mu_0 i_1^{\text{sol}} \Rightarrow M_{21} = \frac{\mu_0 \pi}{2} \cdot \frac{2r^2 N}{l}$$

Mira
con
cuidado